

# بررسی تخریب نوری - زیستی فیلمهای پلی اتیلن پرشده با نشاسته در شرایط جوی تهران

Investigation of Photo-biodegradation of Starch-filled Polyethylene Films  
under the Environmental Conditions of Tehran

فرانک نعیمیان<sup>\*</sup>، فرح خویلو، نسرین شیخ، اعظم اخوان، سرور حسن پور، مصطفی سهراپور

تهران، سازمان انرژی اتمی ایران، مرکز تابش گاما، صندوق پستی ۱۱۳۶۵/۳۴۸۶

دریافت: ۸۵/۴/۱۴، پذیرش: ۸۴/۱۰/۵

## چکیده

هدف از این پژوهش، ساخت فیلمهای پلیمری زیست تخریب پذیر برای مصارف بسته‌بندی، از نظر کاهش آلودگی‌های محیطی ناشی از ضایعات پلاستیکی است. در این پژوهش، تخریب فیلمهای پلیمری در شرایط آب و هوایی تهران بررسی شده است. پلیمر مورد بررسی پلی اتیلن سیک است که با دو درصد متفاوت نشاسته گندم، مالئیک اندیرد، گلیسیرون و سامانه اکسایار دارای اولیک اسید بنزوئیل پروکسید و آهن (III) استئارات فرایند شده است. برای این منظور دو پیمانه اصلی از مواد یاد شده به وسیله مخلوط کن دو غلتکی در ۱۹۰°C تهیه شد. سپس، پیمانه‌های اصلی با پلی اتیلن تجاری مخلوط شده، آمیخته‌های ۱ و ۲ با مقابیر ۱/۲ و ۶/۴ درصد نشاسته آمده شدند. از پلی اتیلن تجاری (به عنوان کنترل) و آمیخته‌های ۱ و ۲ به کمک قالیگری فشاری در ۱۲۰°C فیلم تهیه شد. در مرحله بعدی فیلمهای ساخته شده در معرض شرایط جوی، دفن در خاک و ترکیب شرایط جوی - خاک قرار گرفتند. آثار تخریبی ناشی از قرارگیری فیلمها در این سه محیط با اندازه‌گیری مقاومت کششی، ازدیاد طول تا پارگی، شاخص کربونیل، جذب آب و کاهش وزن و مشاهدات میکروسکوپی بررسی شده است. بررسیهای میکروبی به وسیله نحوه رشد قارچ *Penicillium Asymmetrica*, به عنوان گونه غالب موجود در خاک مورد استفاده، روی فیلمهای کنترل و نمونه ارزیابی شد. نتایج نشان می‌دهد که بکار بردن این سامانه اکسایار همراه با ۶/۴ درصد نشاسته گندم در شرایط ترکیبی جوی - خاک سرعت تخریب فیلمهای ساخته شده از پلی اتیلن سیک تجاری را به نحوی مطلوب افزایش می‌دهد.

## واژه‌های کلیدی

تخریب نوری - زیستی،  
پلی اتیلن پرشده با نشاسته،  
شرایط جوی، دفن در خاک،  
بررسی میکروبی

## مقدمه

باعث تخریب پلیمرها می‌شوند. بنابراین، به طور معمول در فرمولبندی ساخت پلیمرها از مواد پایدارکننده نسبت به دما و نور استفاده می‌شود. حال وقتی این پلیمرها برای مصارفی مانند ظروف یکبار مصرف و پوشش‌های بسته‌بندی بکار گرفته می‌شوند، پس از مدت

یکی از مشکلات جوامع امروزی با توجه به رشد روز افرون جمعیت و گسترش صنایع پلیمری، به ویژه صنایع بسته‌بندی، افزایش زیاله‌های جامد پلاستیکی است. از آنجا که هنگام ساخت پلیمرهای تجاری مواد اکسید شده‌ای بوجود می‌آیند که در موقع مصرف

## Key Words

photo-biodegradation,  
starch-filled polyethylene,  
environmental conditions, soil burial,  
microbial investigation

با نشاسته همچنان ادامه دارد. افزودن ترکیبات خود اکسیده نظر روغنهای سیرنشده نیز راهکار دیگری است [۱۲].

در این پژوهش، با توجه به کارهای قبلی انجام شده، ساخت آمیخته‌های پلی اتیلن به وسیله ترکیبی از افزودنیهای مؤثر مثل فعل کننده‌های نوری، روغنهای سیرنشده، ترکیبات فلزی واسطه و نشاسته گندم انجام شده است. از آنجا که کاهش بیش از حد خواص کششی فیلمهای پلی اتیلن با افزایش درصد نشاسته مصرفی به اثبات رسیده است، در این پژوهش صرفاً از مقدار کم نشاسته (۷/۲٪ و ۶/۴٪ درصد) استفاده شده است. همچنین، رفتار تخریب پذیری این آمیخته‌ها در شرایط جوی تهران، دفن در زیر خاک، ترکیب شرایط جوی و دفن در زیر خاک و آزمون تسریعی قرارگیری در محیط میکروبی بررسی و با پلی اتیلن خالص مقایسه شده است. قرارگیری نمونه‌ها در شرایط ترکیبی جوی - خاک به منظور شبیه‌سازی با شرایط کاربرد کیسه‌های پلی اتیلن است.

## تجربی

### مواد

در این پژوهش، از پلی اتیلن سبک با شاخص جریان مذاب  $0/75 \text{ g}/10\text{ min}$  درجه  $190^\circ\text{C}$  و  $0/918 \text{ g}/\text{cm}^3$  و چگالی  $2/16 \text{ kg}$  تولید شده در پتروشیمی بندرآمام و نشاسته گندم محصول شرکت آرد، نشاسته و گلوكوز یاسوج استفاده شده است. نشاسته تهیه شده قبل از اختلاط خشک شد و رطوبت آن به  $3^\circ\text{C}$  درصد کاهش یافت. آهن (III) استشارات به عنوان عامل اکسیده، با افزودن آهن (III) کلرید به استشاریک اسید در  $80^\circ\text{C}$  تهیه شد. مالئیک ایندرید به عنوان عامل اتصال، بنزوئیل پروکسید به عنوان شروع کننده رادیکالی، گلیسیرول به عنوان نرم کننده، اولئیک اسید به عنوان کاتالیزور اسید لوئیس تهیه شده از شرکت Merck آلمان و استون صنعتی به عنوان عامل خیس کننده بکار گرفته شد.

### دستگاهها

در این پژوهش، مخلوط کن دوغلتکی، پرس مدل Collin، طیف‌سنج Zirco مدل IFS-45، میکروسکوپ الکترونی Philips مدل XL ۳۰ و دستگاه کشش Zwick مدل ۱۴۲۵ بکار گرفته شد.

### روشها

#### تهیه آمیخته

با انتخاب دو درصد متفاوت از نشاسته (۷٪ و ۳٪ درصد) پیمانه‌های اصلی ۱ و ۲ تهیه شدند. برای این منظور نشاسته، مالئیک ایندرید، اولئیک اسید،

کوتاهی وارد چرخه زباله شهری شده و به علت داشتن مواد پایدار کننده مدت زمان زیادی طول می‌کشد تا ازین بروند [۱-۳].

رفتار ایده‌آل برای پلیمر تخریب پذیر تجاری بدین شکل است که محصول باید در ابتدا محکم، بادوام و منعطف باشد تا بتواند تنشهای وارد شده در شرایط کار را تحمل کند. در مرحله دوم باید بعد از دور ریختن در شرایط محیطی تجزیه فیزیکی شده، از نظر شیمیایی تبدیل به کربوکسیلیک اسید، الکل، آلدهید یا هیدروکسی اسیدها شود که به طور معمول در طبیعت یافت می‌شوند. در مرحله سوم، پلیمر به وسیله ریزموجودات زنده محیطی تبدیل به زیست توده (biomass)، کربن دیوکسید و آب شده، چرخه زیستی کامل می‌شود [۴].

تاکنون روش‌های مختلفی برای تخریب پذیر کردن پلاستیکها بکار گرفته شده است. برای اولین بار در اوایل دهه ۱۹۷۰ از نشاسته به عنوان پرکننده برای پلی اتیلن به منظور افزایش زیست تخریب پذیری محصولات ساخته شده از این پلیمر استفاده شد [۵]. در سال ۱۹۷۹ برای افزایش سرعت تخریب پذیری پلی اتیلن در برابر نور خورشید، روش پیوندزنی مونومرهای کتونی روی زنجیر پلیمر بکار گرفته شد. به دلیل ساختار شیمیایی مولکولهای پلی اتیلن، تعداد کمی از پلیمرها برای پیوندزنی با پلی اتیلن سازگاری نشان می‌دهند. ولی، پیوندزنی مونومرهای کتونی با پلی اتیلن از سازگاری خوبی برخوردار است [۶]. پژوهشگرانی در سال ۱۹۹۶ نشان دادند که سامانه اکسایار (prooxidant) دارای پلی اتیلن، کوپلیمر استیرن - بوتادی‌ان و منگنزاستیرات به همراه نشاسته ذرت، پلی اتیلن را نسبت به تخریب گرمایی و نوری حساستر می‌کند [۷]. پژوهش‌های زیادی اثر سامانه‌های اکسایار دارای ترکیبات فلزی واسطه مثل منگنزاستیرات را بر تسریع تخریب پلی اتیلن نشان می‌دهند [۸،۹]. اکسایارها، رادیکالهای آزادی تولید می‌کنند که با حمله به ساختار مولکولی زنجیرهای پلی اتیلن منجر به واکنشهای خود اکسایشی می‌شوند. شکست زنجیرهای پلی اتیلن منجر به واکنشهای ضعیف مثل پیوندهای سیرنشده روی می‌دهد. با انتخاب سامانه اکسایار مناسب می‌توان وزن مولکولی را چنان به سرعت کاهش داد تا برای زیست تخریب پذیر شدن مناسب باشد.

در سالهای بعد افزودن مواد پرکننده مثل نشاسته نیز برای زیست تخریب پذیر کردن پلیمرها در غلظتها مختلف و در ترکیب با سامانه‌های اکسایار متفاوت بررسی شد [۱۰، ۱۱].

زمانی که محصول ساخته شده از پلیمر پرشده با نشاسته پس از مصرف دور ریخته می‌شود، در چرخه زباله شهری، نشاسته موجود در پلیمر به عنوان منبع غذایی مورد استفاده باکتریها، قارچها، مخمراها و آنزیمه‌ها قرار گرفته، در نتیجه منجر به خرد شدن پلیمر و محوشدن شکل اولیه آن می‌شود. اما، هنوز پلیمرهای خرد شده وزن مولکولی زیادی دارند. پژوهشها برای بهبود کارایی تخریب پذیری در سامانه‌های پرشده

تخرب زیستی مورد استفاده قرار گرفت. بررسی میکروبی مطابق استانداردهای ASTM G ۲۲-۷۶ و D ۵۲۴۷-۹۲ انجام شد.

### روشهای اندازه‌گیری

#### طیف‌سنجی FTIR

تغییرات ایجاد شده در ساختار شیمیایی پلیمر و تشکیل گروههای اکسیژن دار در فواصل زمانی معین، با قراردادهی نمونه‌ها در شرایط مختلف به وسیله طیف‌سنج زیرقرمز اندازه‌گیری شد. تغییرات کربونیل با بررسی تغییرات جذب در ناحیه  $1716\text{ cm}^{-1}$  مطالعه شد. برای کاهش خطای ناشی از ضخامت نمونه پیک  $1895\text{ cm}^{-1}$  مربوط به جذب پیوند CH به عنوان پیک مرجع انتخاب و مقدار جذب هر گروه با تقسیم عدد جذب آن گروه به عدد  $1895\text{ cm}^{-1}$  معین شد.

#### آزمون کشش

خواص کششی نمونه‌ها مطابق استاندارد ASTM D ۸۸۲-۹۵a به وسیله دستگاه کشش با سرعت کشش  $50\text{ mm/min}$  در دمای محیط اندازه‌گیری شد، تا درصد افزایاد طول تا پارگی و مقاومت کششی نمونه‌ها در شرایط مختلف تخریب بررسی شود.

#### مقدار جذب آب

از هر فرمولبندی سه نمونه در گرمخانه خلاً به مدت  $6\text{ h}$  در دمای  $50^\circ\text{C}$  قرار داده شد. پس از سرد شدن در خشکانه، نمونه‌ها تو زین شده، در ظرف محتوی آب مقطر در دمای  $23^\circ\text{C}$  قرار گرفتند. نمونه‌ها به طور هفتگی به مدت ۴ هفته از آب خارج شده، پس از حذف آب سطحی آنها با پارچه، تو زین و مجدداً در آب قرار گرفتند. مقدار جذب آب نمونه‌ها با استفاده از معادله (۱) محاسبه شد:

$$(1) \quad [\text{درصد جذب آب}] = \frac{W_0 - W_0}{W_0} \times 100$$

در این معادله  $W_0$  وزن نمونه خشک و  $W_0$  وزن نمونه پس از جذب آب است.

#### کاهش وزن نمونه‌های خارج شده از خاک

نمونه‌هایی که به طور ماهانه از خاک برداشته شدند، پس از شستشو تو زین شده، سپس مقدار کاهش وزن نمونه‌ها محاسبه شد.

**مشاهده ساختار میکروسکوپی نمونه‌ها**  
به منظور بررسی ساختار میکروسکوپی، سطح نمونه‌های فیلم اولیه،

بنزوئیل پروکسید، گلیسیرون و آهن (III) استئارات هر یک با غلظتی کمتر از ۲ درصد به وسیله استون (به مقدار تجربی) مخلوط شده، سپس دانه‌های پلی اتیلن حین همزدن به این محلول آغشته شدند. این دانه‌های آغشته به کمک مخلوط کن دو غلتکی در  $190^\circ\text{C}$  فرایند شده، با آسیاب ۲۴ h به ذرات کوچک ( $0.5\text{ cm}$ ) تبدیل شدند. پیمانه‌های اصلی به مدت ۱۷ درصد در گرمخانه خلاً با دمای  $80^\circ\text{C}$  خشک شدند، سپس به نسبت ۱۷ درصد با پلی اتیلن پودر شده به شکل خشک مخلوط شدند تا آمیخته‌های ۱ و ۲ با مقادیر  $1/2$  و  $6/4$  درصد نشاسته تهیه شوند.

#### تهیه فیلم

فیلمهایی به ضخامت  $17\text{ mm}$  از پلی اتیلن خالص و هر یک از آمیخته‌های ۱ و ۲ به وسیله دستگاه پرس در دمای  $130^\circ\text{C}$  تهیه، سپس در آب سرد خنک شدند. از فیلمهای بدست آمده نوارهایی به ابعاد  $15 \times 70\text{ mm}^2$  بریده شده، در محیط‌های مختلف قرار گرفتند.

#### قواردهی نمونه‌ها در محیط‌های تخریب

##### قواردهی در معرض شرایط جوی

در این آزمون نمونه‌ها از ماه اسفند تا مرداد، به مدت ۵ ماه، در معرض تابش نور آفتاب تهران به سمت جنوب، در زاویه  $45^\circ$  قرار گرفتند.

#### قواردهی در زیر خاک

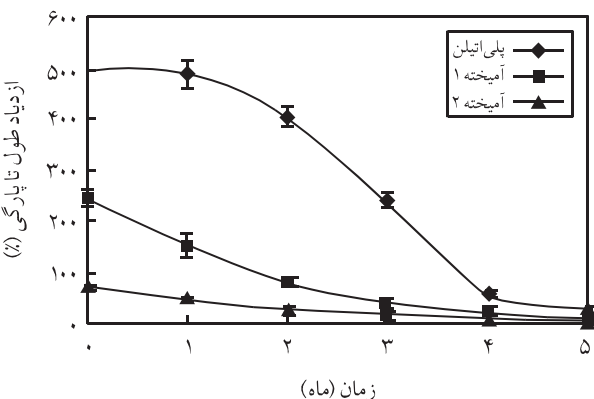
تعداد دیگری از نمونه‌ها پس از تو زین به شکل افقی در زیر خاک قرار داده شدند. خاک مورد استفاده خاک با غچه بوده، ارتفاع خاک در روی نمونه‌ها و زیر آنها به ترتیب  $10$  و  $5\text{ cm}$  بوده است. شایان ذکر است که خاک با غچه محتوی نمونه‌ها در جعبه‌هایی در محیط آزمایشگاه نگهداری شدند. تغییر وزن نمونه‌ها ماهانه به مدت ۳ ماه بررسی شد. برای این منظور نمونه‌ها پس از شستشو با آب مقطر، برای  $24\text{ h}$  در گرمخانه با دمای  $50^\circ\text{C}$  خشک شده، پس از به تعادل رسیدن به مدت  $24\text{ h}$  در خشکانه (desicator)، تو زین شدند.

#### قواردهی در شرایط جوی - خاک

نمونه‌ها به مدت یک ماه در معرض تابش نور آفتاب و پس از تو زین برای ۳ ماه در زیر خاک قرار داده شدند. شرایط قرار گیری در خاک و تو زین نمونه‌ها به روش یاد شده انجام شد.

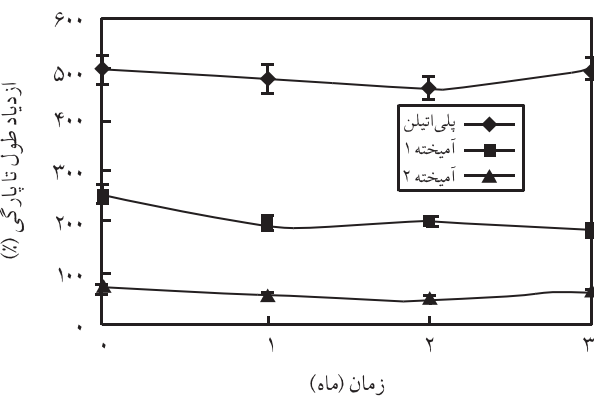
#### قواردهی در شرایط میکروبی

در شمارش میکروبی خاک، قارچ *Penicillium Asymmetrica* به عنوان جنس و گونه غالب شناسایی و جداسازی شد و در آزمون



شکل ۱ تغییر درصد ازدیاد طول تا پارگی پلی اتیلن و آمیخته های نشاسته دار در شرایط جوی.

دفن آنها در خاک، به دلیل وقوع واکنشهای نور اکسایشی نتایج متفاوتی بدست می آید که در جدول ۱ ملاحظه می شود. در این جدول تغییر درصد ازدیاد طول تا پارگی و مقاومت کششی نمونه های پلی اتیلن خالص و آمیخته های ۱ و ۲ در شرایط جوی، دفن در خاک و جوی - خاک خالص و آمیخته های شده اند. همان طور که مشاهده می شود با وجود کم بودن مقادیر نشاسته، خواص مکانیکی پلی اتیلن دارای نشاسته تفاوت محسوسی با پلی اتیلن خالص دارد. افزودن شروع کننده هایی مثل آهن (III) استئارات و بنزوئیل پروکسید برای افزایش تحریب پذیری پلی اتیلن، منجر به تحریب حین فرایندهای اختلاط و تولید فیلم پلیمری شده، باعث کاهش خواص مکانیکی نسبت به پلی اتیلن خالص شود. افزایش تغییر خواص کششی برای نمونه های قرار داده شده در شرایط جوی - خاک نیز به خوبی در این جدول نمایان است. همان طور که نتایج نشان می دهند در شرایط دفن در خاک با گذشت زمان در مورد هر آمیخته تغییرات خواص محسوس نیست. ولی، با افزایش مقدار نشاسته



شکل ۲ تغییرات درصد ازدیاد طول تا پارگی پلی اتیلن و آمیخته های نشاسته دار در شرایط دفن در خاک.

نمونه های خارج شده از خاک و نمونه های بررسی میکروبی با لایه ای از طلا پوشش داده شد، سپس به وسیله میکروسکوپ الکترونی از سطح نمونه ها تصویربرداری شد.

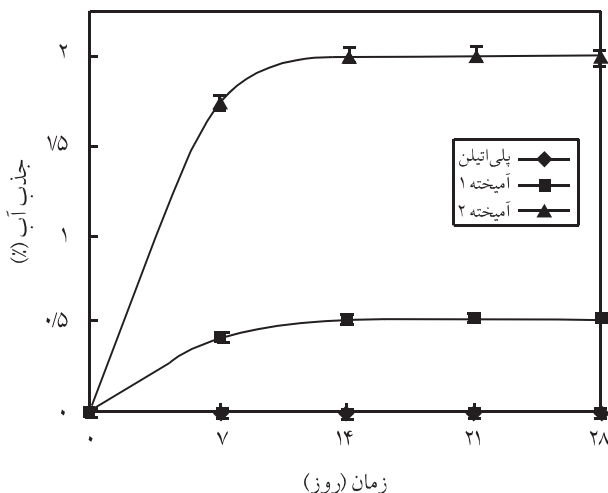
بررسی تجزیه زیستی به وسیله ریزمووجودات هوایی فیلمهای از پلی اتیلن و آمیخته ۲ برای این آزمون در نظر گرفته شدند. Agar قارچ *Penicillium Asymmetrica* در محیط Kشت (SDA) (Sabouraud Dextrose) و به منظور هاگ دار شدن (spore) به مدت ۲۰ روز در دمای محیط نگهداری شد، سپس از هاگ قارچ به مقدار مساوی در محیط هر نمونه تلقیح شد. در مرحله قرار گرفتن در گرمخانه از انکوباتور تکان دهنده در ۳۰°C ۷۲ h در مدت ۳۰ min استفاده شد. پس از ۱۷ درجه C با تکان دهنده اریتالی با دور ۱۲۵ rpm استفاده شد. روز نمونه ها از محیط کشت قارچ خارج و به مدت ۳۰ min در اتانول ۷۰ درصد غوطه ور شدند. هر نمونه درون ظرف استریل با وزن معلوم قرار گرفته، پس از ۷۲ h با اطمینان از خشک بودن آنها، توزین شد.

## نتایج و بحث

### بررسی خواص کششی

شکلهای ۱ و ۲ تغییر درصد ازدیاد طول تا پارگی نمونه های پلی اتیلن خالص و آمیخته های ۱ و ۲ را با افزایش زمان به ترتیب در شرایط جوی و دفن در خاک نشان می دهند. همان طور که مشاهده می شود در شکل ۱ درصد ازدیاد طول نمونه ها با افزایش زمان قرار گرفتن در شرایط جوی کاهش می یابد. در حالی که در شرایط دفن در خاک (شکل ۲) تغییرات محسوسی وجود ندارد. این مسئله می تواند به علت فقدان نور و اکسیژن در زیر خاک و در نتیجه کمتر بودن واکنشهای اکسایش باشد [۱۳]. همچنین، کم بودن مقدار نشاسته در این آمیخته ها ممکن است علت این رفتار در زیر خاک باشد [۱۴].

در شکلهای یاد شده ملاحظه می شود با افزودن نشاسته به پلی اتیلن، مقدار اولیه درصد ازدیاد طول تا پارگی یعنی قبل از قرار گرفتن در معرض شرایط جوی کاهش قابل ملاحظه ای یافته است که ناشی از ناسازگاری ذاتی نشاسته و پلی اتیلن در اثر تفاوت آبدوستی - آبگریزی است [۱۵]. کاهش ازدیاد طول تا پارگی با افزایش مقدار نشاسته در فرمولیندی بیشتر آشکار می شود. به عبارت دیگر، ذرات نشاسته قابلیت کشش همزمان و هماهنگ با زمینه پلی اتیلن را ندارد، در نتیجه کرنش کمتری برای کاهش مقاومت کششی نمونه های نشاسته دار لازم است. با قرار دادن نمونه ها به مدت یک ماه در معرض شرایط جوی و سپس



شکل ۳ درصد جذب آب پلی اتیلن و نمونه های دارای نشاسته نسبت به زمان قرارگیری در آب.

مشاهده می شود نتایج FTIR نیز تمامی نتایج خواص کششی را تأیید می کند. ملاحظه می شود که در اینجا نیز حساستر شدن نمونه به تخریب در شرایط جوی - خاک نسبت به شرایط دفن در خاک کاملاً مشهود است و با افزایش درصد نشاسته این اثر بیشتر می شود.

#### آزمون کاهش وزن

در این پژوهش، اندازه گیری درصد کاهش وزن در شرایط خاک و جوی

کاهش خواص کششی مشاهده می شود که این کاهش در مورد درصد ازدیاد طول تا پارگی بهتر مشهود است. همچنین، مشاهده می شود که در شرایط جوی - خاک سرعت تغییرات خواص مقداری بین شرایط جوی و شرایط دفن در خاک است.

#### آزمون جذب آب

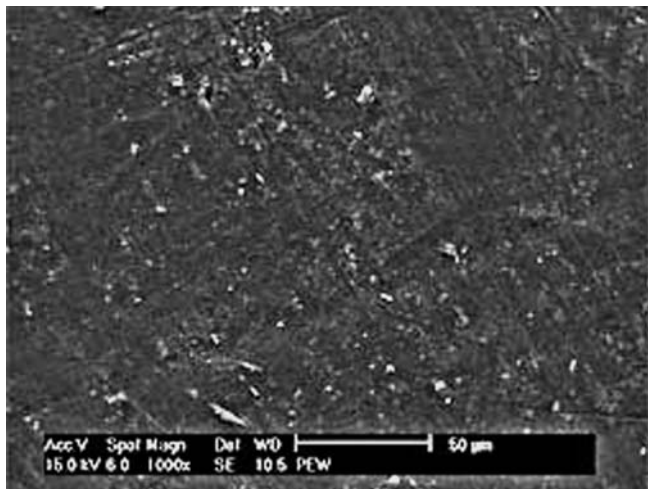
درصد جذب آب فیلمهای نشاسته دار و پلی اتیلن (شاهد) طی ۲۸ روز در شکل ۳ نشان داده شده است. همان طور که انتظار می رود با افزایش مقدار نشاسته مصرفی، درصد جذب آب نیز افزایش می یابد. این در حالی است که نمونه شاهد، هیچ جذب آبی را نشان نمی دهد. همچنین، مشاهده می شود که در هفته اول نمونه ها بیشترین مقدار آب را جذب کرده اند. نکته قابل توجه در اینجا مقدار آب جذب شده است که تأییدی بر پیوند خوردن نشاسته از طریق مالیک اندرید به پلی اتیلن است. اگر نشاسته به زمینه پلیمری پیوند نخورده باشد مقدار جذب آب برای این مقدار نشاسته، در اولین روزها به بیش از ۲۰ درصد می رسد [۱۶]. در حالی که نتایج این آزمون در پژوهش حاضر مقدار ۱/۶ درصد جذب آب را نشان می دهد.

#### بررسی آزمون طیف سنجی FTIR

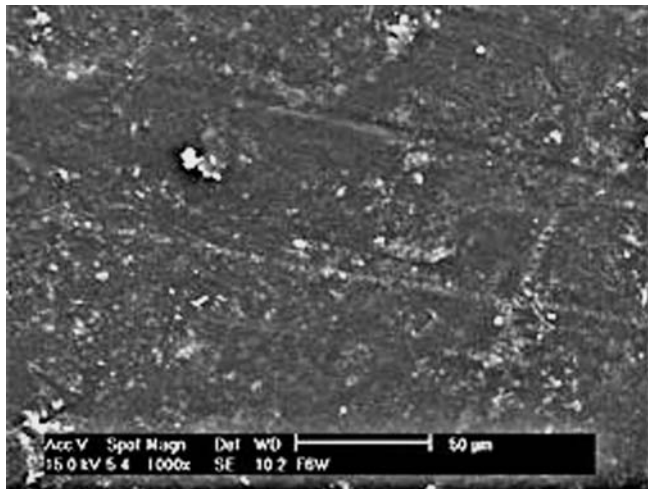
جدول ۲ تغییرات شاخص کربونیل (A<sub>۱۷۱۶</sub>/A<sub>۱۸۹۵</sub>) را برای نمونه ها در شرایط جوی، دفن در خاک و جوی - خاک نشان می دهد. همان طور که

جدول ۱ تغییرات خواص کششی پلی اتیلن و نمونه های دارای نشاسته در شرایط متفاوت تخریب.

شرایط جوی - خاک		شرایط دفن در خاک		شرایط جوی		زمان (ماه)	نمونه
مقاومت کششی (N/mm <sup>2</sup> )	ازدیاد طول تا پارگی (%)	مقاومت کششی (N/mm <sup>2</sup> )	ازدیاد طول تا پارگی (%)	مقاومت کششی (N/mm <sup>2</sup> )	ازدیاد طول تا پارگی (%)		
پلی اتیلن	۴۵۲	۱۷/۸۳	۴۹۳	۱۷/۸۳	۴۹۳	۰	پلی اتیلن
	۴۹۲	۱۷/۷۶	۴۸۳	۱۲/۹۷	۴۸۷/۵	۱	
	۳۸۰	۱۷/۸۶	۴۶۰	۱۰/۳۱	۴۰۸	۲	
	۳۶۹	۱۷/۶۱	۴۲۶	۸/۴۳	۲۴۳	۳	
آمیخته ۱	۵۰	۸/۹۹	۲۴۴	۸/۹۹	۲۴۴	۰	آمیخته ۱
	۵۱	۹/۰۲	۱۹۹	۸/۶۴	۱۵۰	۱	
	۵۱	۹/۰۱	۱۹/۸۵	۷/۸	۸۴	۲	
	۴۵	۹/۱۵	۱۸۰	۷/۸۷	۳۳	۳	
آمیخته ۲	۲۲	۸/۵۶	۷۲/۵	۸/۵۶	۷۲/۵	۰	آمیخته ۲
	۲۲	۸/۲۲	۵۵/۵	۸/۱۱	۴۷	۱	
	۱۹	۸/۲۵	۴۷/۶	۶/۷۵	۲۷/۵	۲	
	۲۱	۸/۳	۶۳/۲	۶/۲۴	۲۰	۳	



(الف)



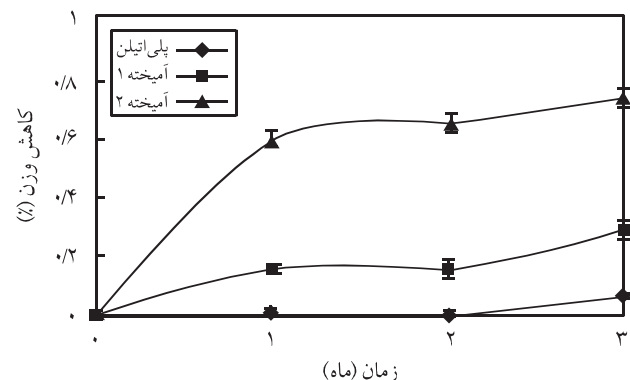
(ب)

شکل ۵ تصاویر SEM : (الف) پلی اتیلن پس از قرارگیری در آب داغ با بزرگنمایی ۱۰۰ و (ب) آمیخته ۲ پس از قرارگیری در آب داغ با بزرگنمایی ۱۰۰۰.

همان طور که در شکل ۴ مشاهده می شود در فیلمهای تهیه شده از آمیخته های ۱ و ۲ نسبت به نمونه شاهد مقداری تغییر وزن وجود دارد که با افزایش مقدار نشاسته مصرفی درصد کاهش وزن افزایش می یابد. کم بودن سرعت تغییرات همان طور که بیان شد به علت کم بودن غلظت نشاسته در آمیخته هاست.

#### بررسی مشاهدات میکروسکوپی

شکلهای ۵ (الف) و (ب) به ترتیب تصاویر SEM مربوط به سطوح نمونه های پلی اتیلن و آمیخته ۲ را نشان می دهند که به مدت ۲۴ h در آب داغ (۸۰°C) قرار داده شده اند. یکسان بودن تصاویر تأییدی بر پیوند

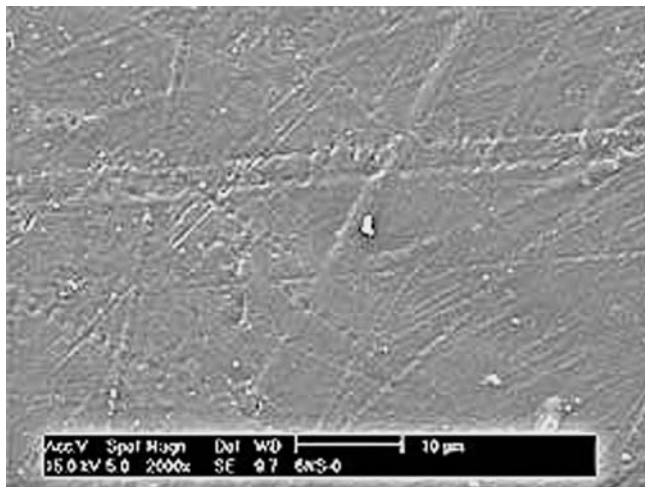


شکل ۴ درصد کاهش وزن پلی اتیلن و نمونه های دارای نشاسته در شرایط جوی - خاک.

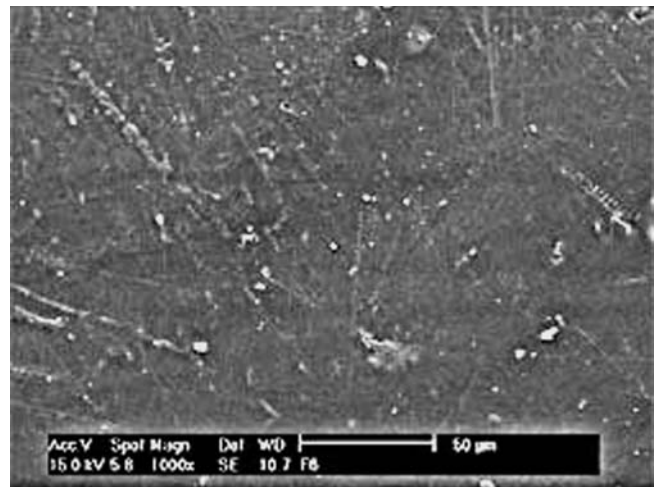
- خاک نشان می دهد که در شرایط خاک تغییرات وزن نامحسوس است و در شرایط جوی - خاک تغییرات وزن مطابق شکل ۴ است. پژوهشگران برای نشاسته آستانه تراوoshi (percolation threshold) تعريف کرده اند که طبق آن اگر غلظت نشاسته در نمونه ای کمتر از حدود ۳۰ درصد حجمی باشد، حساسیت نمونه به تخریب زیستی کم خواهد بود. مشابه چنین نتایجی نیز برای مخلوط پلی اتیلن - نشاسته دفن شده در خاک بدست آمده است [۱۶]. بنابراین، نتایج بدست آمده در این مورد قابل انتظار است. در مورد نمونه های قرار گرفته در شرایط جوی - خاک

جدول ۲ تغییرات شاخص کربونیل نمونه ها در شرایط متفاوت تخریب.

نمونه	زمان (ماه)	شرایط جوی	شرایط دفن در خاک	شرایط جوی - خاک
پلی اتیلن	۰	۰/۰۵	۰/۰۵	۰/۰۵
	۱	۰/۰۶۳	۰/۰۶۵	۰/۰۶۳
	۲	۱/۰۶	۰/۰۵۶	۱/۰۶
	۳	۳/۰۲	۰/۰۶۲	۳/۰۲
آمیخته ۱	۰	۱/۰۹	۱/۰۹	۱/۰۹
	۱	۱/۰۸	۱/۰۸	۱/۰۸
	۲	۲/۰۳	۱/۰۸	۲/۰۳
	۳	۵/۰۶	۱/۰۱	۵/۰۶
آمیخته ۲	۰	۱/۰۸	۱/۰۳	۱/۰۸
	۱	۲/۰۱	۱/۰۵	۲/۰۱
	۲	۳/۰۴	۱/۰۱	۳/۰۴
	۳	۶/۰۵	۱/۰۴۳	۶/۰۵۵



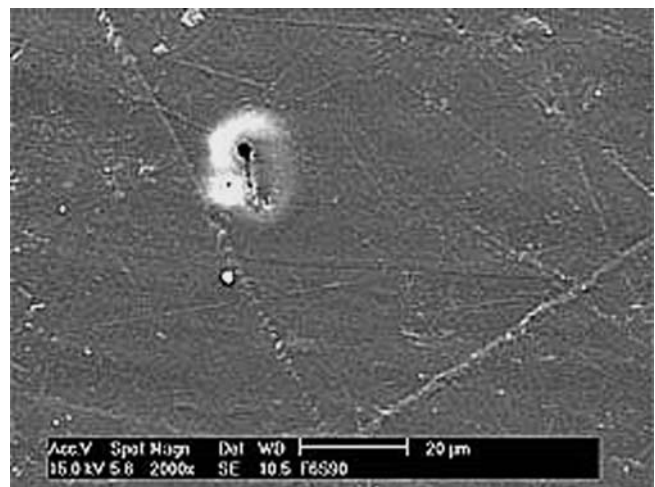
(الف)



(الف)



(ب)



(ب)

شکل ۷ تصاویر SEM آمیخته ۲: (الف) پس از یک ماه قرارگیری در شرایط جوی با بزرگنمایی ۲۰۰۰ و (ب) پس از یک ماه قرارگیری در شرایط جوی و سه ماه دفن در خاک با بزرگنمایی ۱۰۰۰.

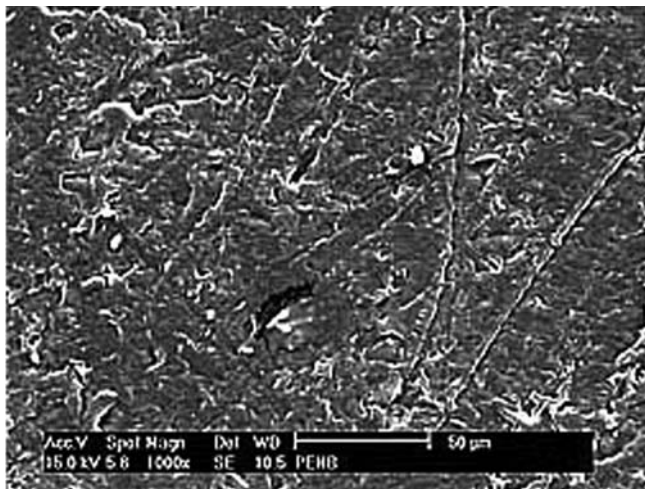
خواص نمونه‌ها مشاهده می‌شود. ملاحظه می‌شود که قرار گرفتن نمونه‌ها در شرایط جوی قبل از دفن در خاک و نیز افزایش درصد نشاسته تخریب فیلم را افزایش می‌دهد.

#### بررسی میکروبی

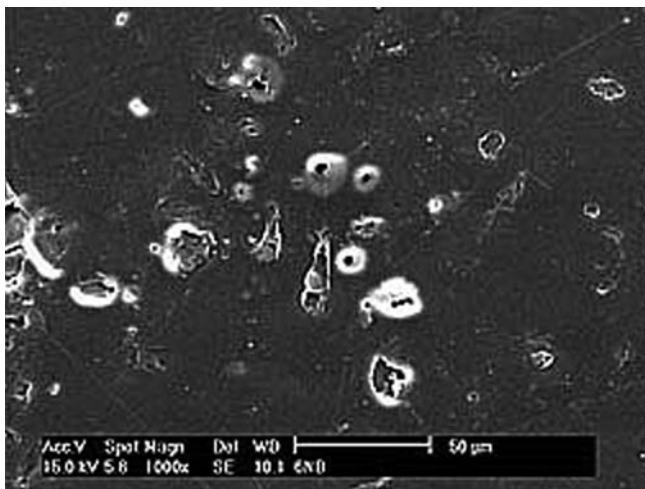
شکلهای ۹(الف) و ۹(ب) اثر آزمون میکروبی را بر نمونه‌های پلی اتیلن و آمیخته ۲ نشان می‌دهند. همان‌طور که مشاهده می‌شود محیط میکروبی روی فیلم پلی اتیلنی نیز آثاری بر جای گذاشته است، ولی در آمیخته ۲ که دارای نشاسته و سامانه اکسایر است خوردگیهای در سطح فیلم مشاهده

شیمیایی نشاسته از طریق مالئیک انیدرید به زمینه پلیمری است. زیرا، در غیر این حالت با این روش حفره‌های ناشی از حل شدن ذرات نشاسته در آب داغ روی سطح نمونه مشاهده می‌شد [۱۷]. نتایج بدست آمده از این تصاویر با نتایج آزمون جذب آب مطابقت دارد.

شکل ۶(ب) در مقایسه با ۶(الف) خوردگی جزئی را در آمیخته ۲ پس از سه ماه قرار گرفتن در خاک نشان می‌دهد. از مقایسه شکلهای ۶(ب)، ۷(ب) و ۸(ب) با ۶(الف)، ۷(الف) و ۸(الف) اثر دفن در خاک، از مقایسه شکل ۶(ب) با ۷(ب) اثر قرار گرفتن در شرایط جوی قبل از دفن در خاک و از مقایسه شکلهای ۷(ب) با ۸(ب) اثر افزایش درصد نشاسته بر



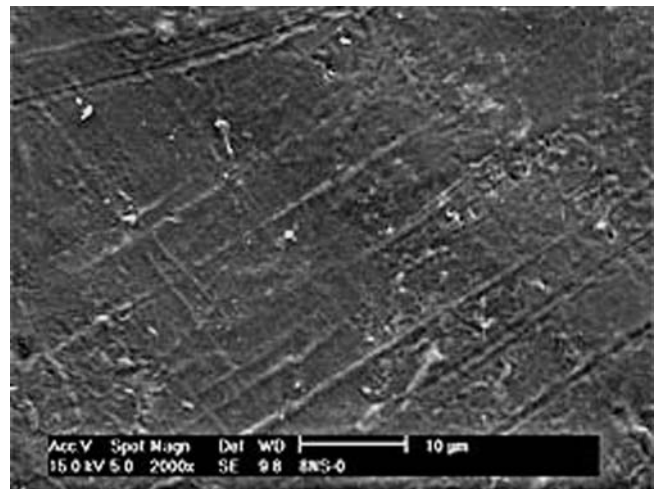
(الف)



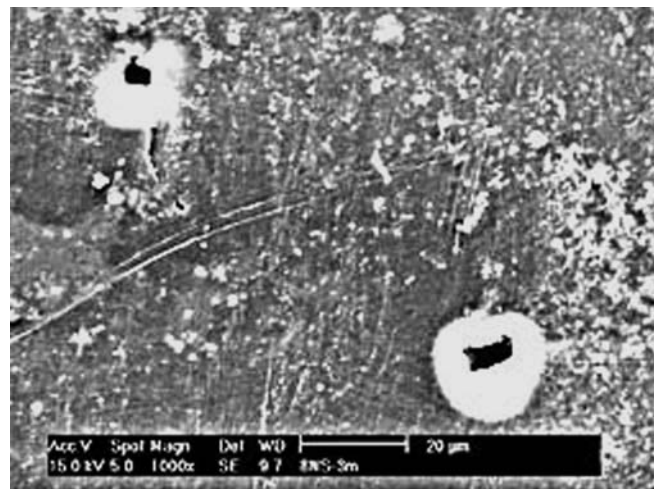
(ب)

شکل ۹ تصاویر SEM: (الف) نمونه پلی اتیلن پس از یک ماه قرارگیری در شرایط جوی و انجام آزمون میکروبی با بزرگنمایی ۱۰۰۰ و (ب) آمیخته ۲ پس از یک ماه قرارگیری در شرایط جوی و انجام آزمون میکروبی با بزرگنمایی ۱۰۰۰.

حساس کردن فیلم پلی اتیلنی را در شرایط جوی تهران همراه با عدم کاهش بیش از حد خواص کششی فیلم تأمین می کند. آزمونهای انجام شده نشان می دهد که با وجود کم بودن مقدار نشاسته مصرفی، که صرفا به علت عدم کاهش خواص کششی انتخاب شد، وجود عوامل موجود در سامانه اکسایار بکار رفته در ساخت فیلمهای پلی اتیلنی حساس به شرایط زیست - محیطی شهر تهران مؤثر واقع شده اند. نتایج آزمونهای کشش، طیف سنجی زیر قرمز، جذب آب، کاهش وزن، میکروسکوپی الکترونی و نیز آزمون میکروبی همگی موئید این مطلب است که افزایش غلاظت نشاسته با کاهش خواص کششی و افزایش زیست تخریب پذیری



(الف)



(ب)

شکل ۸ تصاویر SEM آمیخته ۱: (الف) پس از یک ماه قرارگیری در شرایط جوی با بزرگنمایی ۲۰۰۰ و (ب) پس از یک ماه قرارگیری در شرایط جوی و سه ماه دفن در خاک با بزرگنمایی ۱۰۰۰.

می شود که نشان دهنده حساس شدن نمونه نسبت به محیط میکروبی است. نتایج اندازه گیریهای وزن به دلیل کم بودن مقدار نشاسته در آمیخته، جزئی بوده، قابل گزارش نیست. بدیهی است با افزایش درصد نشاسته در آمیخته اختلاف وزن نیز محسوس تر خواهد بود.

## نتیجه گیری

نتایج نشان می دهد که آمیخته ساخته شده در این پژوهش مشتمل بر پلی اتیلن سبک تجاری، نشاسته گندم و سامانه اکسایار پیشنهادی، هدف

شدن فیلم پلی اتیلنی ارائه می شود.

### قدرتانی

بدین وسیله از مسئول محترم گروه میکروبیولوژی مرکز تابش گاما، خانم بت عیشو برای انجام آزمونهای میکروبی و آفای حمید حسین زاده برای همکاریهای فنی تشکر و قدردانی می شود.

فیلم پلی اتیلنی همراه است. همچنین، نتایج نشان می دهد که با درصد کم انتخاب شده برای نشاسته، تغییرات در شرایط دفن در خاک جزئی است، ولی با قرارگیری نمونه ها به مدت یک ماه در معرض شرایط جوی قبل از دفن در خاک، این حساسیت به نحوی مطلوب افزایش می یابد. بنابراین، آمیخته دارای ۶۴ درصد نشاسته گندم، سامانه اکسایار و شرایط جوی - خاک به عنوان بهترین انتخاب برای کمک به زیست تخریب پذیر

## مراجع

- Zuchowska D., Steller R. and Meissner W., Structure and Properties of Degradable Polyolefin-starch Blends, *Polym. Degrad. Stab.*, **60**, 471-480, 1998.
- Scott G., Green Polymers, *Polym. Degrad. Stab.*, **68**, 1-7, 2000.
- Albertsson A., Barenstedt C. and Karlsson S., Susceptibility of Enhanced Environmentally Degradable Polyethylene to Thermal and Photo-oxidation, *Polym. Degrad. Stab.*, **37**, 163-171, 1992.
- Scott G., *Polymers and the Environment*, Royal Soc. Chem., UK, 98, 1999.
- Griffin G.J.L., *Chemistry and Technology of Biodegradable Polymers*, Griffin G.J.L. (Ed.), 1st ed., Blackie Academic and Professional, London, Chap. 3, 1994.
- Guillet J.E., Photodegradable Polymer Compositions Blends of Polymers with Ketone-containing Block or Graft Copolymers, *US Pat. 4,176,145*, 1979.
- Erlandsson B., Karlsson S. and Albertsson A.C., The Mode of Action of Corn-starch and a Pro-oxidant System in LDPE: Influence of Thermo-oxidation and UV-Irradiation on the Molecular Weight Changes, *Polym. Degrad. Stab.*, **55**, 237-245, 1997.
- Khabbaz F. and Albertsson A.C., Rapid Test Methods for Analyzing Degradable Polyolefins with a Pro-oxidant System, *J. Appl. Polym. Sci.*, **79**, 2309-2316, 2001.
- Jakubowicz I., Evaluation of Degradability of Biodegradable Polyethylene (PE), *Polym. Degrad. Stab.*, **80**, 39-43, 2002.
- Griffin G.J.L. and Hashemi S.A., Starch as a Filler in HDPE, *Iran. J. Polym. Sci. Technol.*, **1**, 45-54, 1992.
- Jane J.-L., Schwabacher A.W., Ramrattan S.N. and Moore J.A., Biodegradable Starch Plastics Incorporating Modified Polyethylene, *US Pat. 5,115,000*, 1992.
- Allen N.S. and Edge M., Fundamentals of Polymer Degradation and Stabilization, 2n ed., New York, Elsevier, 1992 (Translated by Assempour H., Persian, 159, Amir Kabir University of Technology, 2003).
- Geizerstein H., Syracuse J. and Kostyniak P., Degradation of Starch Modified Polyethylene Bags in a Compost Field Study, *Polym. Degrad. Stab.*, **39**, 251-259, 1993.
- Kiatkamjornwong S., Thakeow P. and Sonsuk M., Chemical Modification of Cassava Starch for Degradable Polyethylene Sheets, *Polym. Degrad. Stab.*, **73**, 363-375, 2001.
- Raghavan D. and Emekalan A., Characterization of Starch/Polyethylene and Starch/Polyethylene/Polylactic acid Composites, *Polym. Degrad. Stab.*, **72**, 509-517, 2001.
- Chandra R. and Rustgi R., Biodegradation of Maleated Linear Low Density Polyethylene and Starch Blends, *Polym. Degrad. Stab.*, **56**, 185-202, 1997.
- Bikiaris D., Prinos J., Koutsopoulos K., Vouroutzis N., Pavlidou E., Frangis N. and Panayiotou C., LDPE/Plasticized Starch Blends Containing PE-g-MA Copolymer as Compatibilizer, *Polym. Degrad. Stab.*, **59**, 287-291, 1998.